



# ÉVALUATION DES STOCKS DE CAPELAN DANS LES DIVISIONS 2J ET 3KL JUSQU'EN 2025

## CONTEXTE

La Direction de la gestion des pêches de Pêches et Océans Canada (MPO) a demandé un avis scientifique sur l'état des stocks de capelan (*Mallotus villosus*) dans les [divisions 2 et 3 de la région de Terre-Neuve-et-Labrador \(zones de pêche du capelan 1 à 11\)](#). La dernière évaluation complète de l'espèce remonte à mars 2025 (MPO 2025). Le présent rapport d'avis scientifique sur les pêches découle de l'examen par les pairs du 3 au 5 mars 2026 sur l'évaluation des stocks de capelan dans les divisions 2J, 3K et 3L. Toute autre publication découlant de cette réunion sera publiée, lorsqu'elle sera disponible, sur le [calendrier des avis scientifiques de Pêches et Océans Canada \(MPO\)](#).

## AVIS SCIENTIFIQUE

### État du stock

- L'indice de la biomasse du capelan tiré du relevé acoustique en 2025 était de 766 kt (intervalle de crédibilité à 90 % : 560 à 1 070 kt) et se situait au-dessus du point de référence limite (PRL, 155 kt), avec une probabilité supérieure à 95 %.

### Tendances du stock

- L'indice de la biomasse du capelan tiré du relevé acoustique en 2025 était plus élevé que la médiane après l'effondrement (190 kt) et semblable aux sommets de la série chronologique après l'effondrement pour 2013 à 2014 et 2024.
- Depuis 1991, l'indice de la biomasse du capelan tiré du relevé acoustique est resté bien inférieur au niveau d'avant l'effondrement (1982 à 1990 : médiane de 3 697 kt).
- L'indice de l'abondance des larves était inférieur à la moyenne en 2025, mais la période de fraie était plus tôt que la moyenne selon l'indice, ce qui donne à penser que la classe d'âge de 2025 pourrait être plus forte que prévu.

### Considérations liées à l'écosystème et aux changements climatiques

- La phase chaude du climat océanique qui a commencé vers 2020 s'est poursuivie en 2025. Le climat océanique contrôle la productivité à l'échelle de l'écosystème. La phase chaude actuelle et les récents niveaux de la biomasse du zooplancton sont considérés comme favorables à la productivité et à la condition du capelan. Cependant, les effets à long terme sur le capelan causés par l'augmentation des températures due aux changements climatiques sont inconnus.
- L'écosystème de Terre-Neuve-et-Labrador s'est effondré de la fin des années 1980 au début des années 1990. Les niveaux actuels de la biomasse dans l'écosystème correspondent environ aux sommets atteints après l'effondrement des années 2010. Bien

que ces augmentations soient dues au poisson de fond, le capelan s'est également amélioré.

- Malgré une grande incertitude, les analyses des composantes de l'environnement, du régime alimentaire des poissons prédateurs et du réseau trophique indiquent des perspectives généralement positives pour le capelan en 2026.

### Avis sur le stock

- Le modèle de prévision du capelan prévoit que l'indice acoustique de la biomasse en 2026 sera supérieur au PRL (332 kt; intervalle de prévision à 80 % de 147 à 725 kt). Cette projection est interprétée comme un minimum, car le modèle sous-estime l'indice de la biomasse lorsque le capelan d'âge 3+ constitue une proportion élevée de la biomasse, comme cela a été observé en 2025.
- Compte tenu des conditions environnementales favorables, des analyses des composantes du réseau trophique et des tendances biologiques du capelan, les perspectives des stocks sont positives pour 2026.

## BASE DE L'ÉVALUATION

### Détails de l'évaluation

#### Année d'approbation de l'approche d'évaluation

2019 (MPO 2021)

#### Type d'évaluation

Évaluation complète : Évaluation complète des stocks examinée par des pairs.

#### Date de l'évaluation la plus récente

1. Dernière évaluation complète : du 4 au 6 mars 2025 (MPO 2025)
2. Dernière mise à jour de l'année intermédiaire : 14 et 15 mars 2022 (MPO 2023)

#### Approche d'évaluation du stock

1. Catégorie générale : fondée sur des indices (indices indépendants de la pêche)
2. Catégorie spécifique : Autre (modèle de prévision du capelan)

Le modèle de prévision du capelan (Lewis *et al.* 2019, Lewis *et al.* 2025) est utilisé pour générer des prévisions de l'indice de la biomasse du capelan tiré du relevé acoustique pour l'année en cours, en intégrant des données sur le moment du retrait de la glace de mer, l'état du capelan, l'abondance des larves de capelan et l'abondance de la principale proie des larves de capelan (zooplancton).

#### Approche d'évaluation de l'écosystème et des changements climatiques

L'environnement physique a été caractérisé par l'examen des tendances du climat océanique à l'aide d'indicateurs océanographiques et de l'indice climatique de Terre-Neuve-et-Labrador. Les composantes du réseau trophique examinées comprenaient les niveaux trophiques inférieurs caractérisés à l'aide des indicateurs de la production primaire et du zooplancton; l'état et les tendances de la communauté de poissons; ainsi que des renseignements sur les oiseaux de mer et les mammifères marins. La caractérisation des interactions écologiques et environnementales comprenait le lien entre l'indice climatique de Terre-Neuve-et-Labrador et la

force de la productivité par individu de capelan; les régimes alimentaires des poissons; les estimations de la consommation alimentaire; et la modélisation de la biomasse du capelan en tant que fonction du régime alimentaire des prédateurs. Les éléments de l'habitat comprenaient un résumé des zones benthiques importantes et des fermetures existantes des pêches. Les paramètres regroupés sur les pêches qui ont été pris en compte comprenaient l'empreinte de la pêche et le risque de surpêche de l'écosystème. En ce qui a trait aux répercussions des changements climatiques, les voies explorées comprenaient le lien entre le climat océanique et la productivité des écosystèmes.

### Scénarios des modélisation

En 2026, un scénario du modèle de prévision qui limitait la biomasse du capelan aux âges 1 et 2 a été examiné afin de déterminer pourquoi le modèle de prévision du capelan sous-estimait l'indice acoustique de la biomasse en 2025. Le modèle de prévision du capelan a réussi à prévoir la biomasse du capelan plus jeune que l'âge 3, mais a sous-estimé l'indice de la biomasse tiré du relevé acoustique lorsque les âges 3+ représentaient une grande proportion de la biomasse.

### Hypothèse relative à la structure du stock

Depuis 1992, en raison des preuves biologiques accumulées (Nakashima 1992), il a été recommandé que les stocks de capelans dans la sous-zone 2 et les divisions 3K et 3L de l'Organisation des pêches de l'Atlantique Nord-Ouest (OPANO) soient considérés comme un complexe de stocks (ci-après appelé « stocks de capelan des divisions 2J3KL »).

### Points de référence

- Point de référence limite (PRL) : 155 kt dans l'indice de la biomasse du capelan selon le relevé acoustique printanier. Le PRL du capelan est fondé sur la quantité de capelans nécessaire pour maintenir le stock de morue du Nord à son PRL en l'absence de pêche de morue du Nord (MPO 2024).
- Point de référence supérieur (PRS) : S. O.
- Taux d'exploitation de référence (TER) : S. O.
- Point de référence cible (PRC) : S. O.

### Données

- Relevé acoustique printanier du capelan (1982 à 2025; pas de données en 1983 à 1984, 1993 à 1995, 1997 à 1998, 2006, 2016, 2020 à 2021).
- Débarquements commerciaux et données biologiques (1978 à 2025; aucune pêche en 1994, 1995 et 2022).
- Relevé automnal au chalut de fond par navire de recherche dans la région de Terre-Neuve-et-Labrador du MPO (1982 à 2025).
- Relevé des larves à la plage Bellevue (2001 à 2025).
- Programme de journal de la fraie du capelan (1991 à 2025).
- Jour de l'année de la position la plus au sud de la glace de mer contiguë [retrait de la glace de mer ( $t_{\text{glace}}$ )] (1999 à 2025).

- Indicateurs du Programme de recherche sur les écosystèmes de la région de Terre-Neuve-et-Labrador du MPO (1960 à 2025).
- Indicateurs du Programme de monitoring de la zone Atlantique (1950 à 2025).
- Observation de la couleur de l'océan par le spectroradiomètre imageur à résolution moyenne Aqua de la NASA (2003 à 2025).

## ÉVALUATION

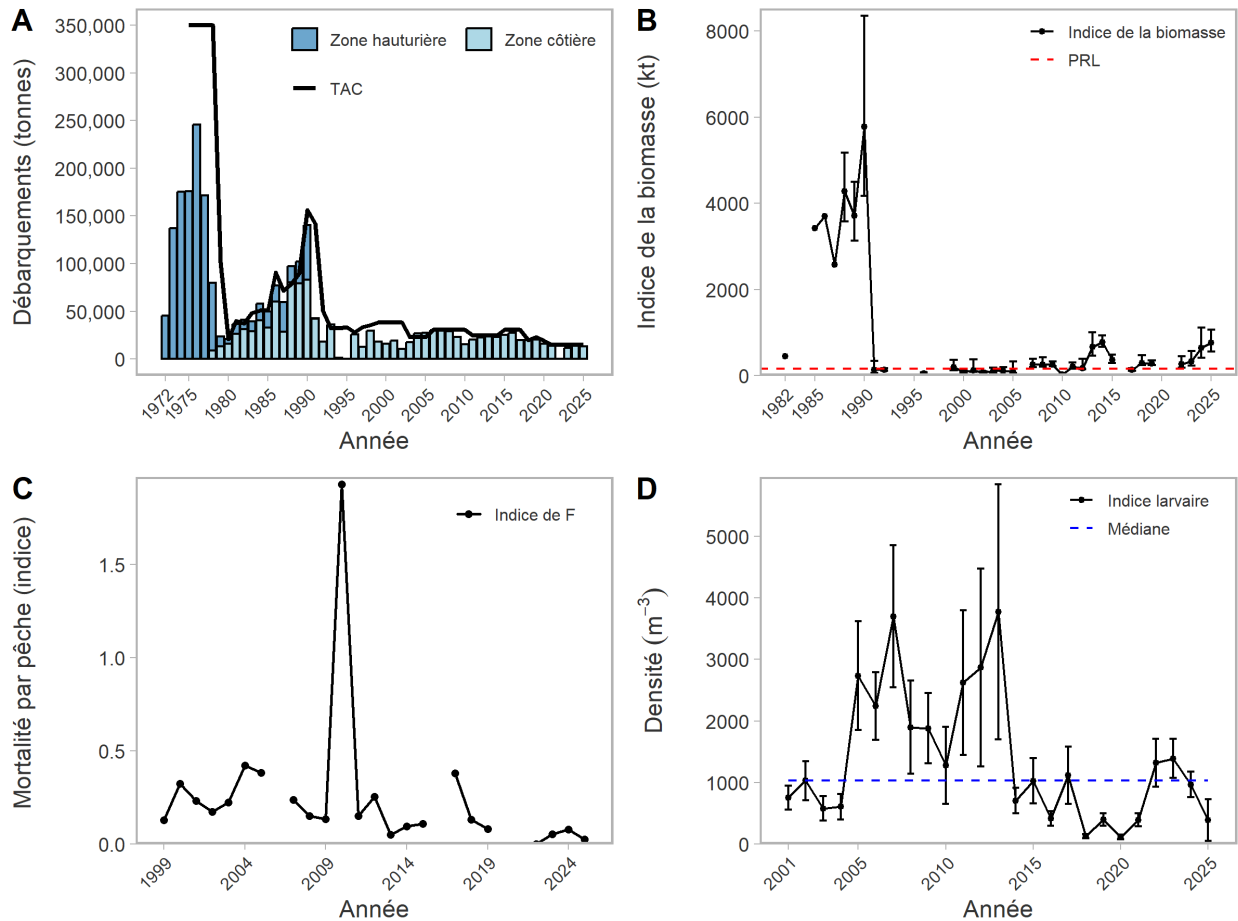


Figure 1. (A) Prises (t) et total autorisé des captures (TAC, t); (B) indice de la biomasse (kt) par rapport au point de référence limite (155 kt); (C) indice de la mortalité maximale par pêche (F); (D) indicateur du recrutement pour le capelan dans les divisions 2J3KL selon l'indice larvaire de la plage Bellevue (individus  $[ind.] m^{-3}$ ).

### État du stock et tendances

#### Indice de la biomasse

L'indice de la biomasse du capelan tiré du relevé acoustique en 2025 était de 766 kt (intervalle de crédibilité [IC] à 90 % : 560 à 1 070 kt), ce qui est similaire aux récents sommets de la série chronologique en 2013 (668 kt), en 2014 (779 kt) et en 2024 (647 kt) (figure 1B). Depuis l'effondrement des stocks en 1991, l'indice annuel médian de la biomasse du capelan tiré du

relevé acoustique était de 190 kt (1991 à 2024), bien en deçà de la médiane de 1982 à 1990 (3 697 kt) avant l'effondrement.

### Structure selon l'âge et maturité

Dans la période après l'effondrement, la structure selon l'âge de la population est tronquée, avec une très faible proportion de poissons d'âge 4+. Dans le relevé acoustique printanier de 2025, les proportions de poissons d'âge 2 et d'âge 3 étaient similaires, ce qui n'est pas typique dans la période après l'effondrement; les poissons d'âge 2 constituent généralement la majeure partie de l'abondance. Une proportion aussi élevée de poissons d'âge 3 a été observée pour la dernière fois en 2013. Le pourcentage de capelans femelles d'âge 2 en maturation dans le relevé acoustique printanier de 2025 (34 %) a augmenté par rapport à 2024 (20 %), mais reste relativement faible par rapport aux autres années de la période après l'effondrement; des proportions plus faibles de femelles d'âge 2 en maturation indiquent une biomasse des stocks plus élevée.

### Recrutement

L'indice larvaire de la plage Bellevue était de  $388 \pm$  erreur-type (ET) 339 individus  $m^{-3}$  en 2025, ce qui était inférieur aux données de 2024 et à la médiane de la série chronologique (1 075 individus  $m^{-3}$ ; 2001 à 2024) (figure 1D). Cela laisse supposer la production d'une classe d'âge sous la moyenne en 2025 par rapport à la période après l'effondrement. Cependant, la période de fraie plus précoce que la moyenne observée en 2025 pourrait produire une classe d'âge plus forte que prévu (Murphy *et al.* 2021).

### Indice de la mortalité par pêche (F)

Un indice de la mortalité par pêche (F) maximale a été calculé en utilisant la fraction mature de l'indice de la biomasse acoustique et les débarquements de la pêche. L'indice de F était généralement faible (médiane : 0,15, fourchette : 0,02 à 1,92), ce qui donne à penser que le taux d'exploitation du capelan est faible, en particulier pour les années les plus récentes (2023 à 2025 : 0,02 à 0,08) (figure 1C).

### État actuel

Les stocks de capelans des divisions 2J3KL se sont effondrés en 1991 lors d'une phase froide dans l'écosystème de Terre-Neuve-et-Labrador. L'indice de la biomasse d'après le relevé acoustique du printemps 2025 était supérieur au PRL (probabilité supérieure à 95 %) et est similaire aux sommets de la série chronologique après l'effondrement de 2013 à 2014 et de 2024; cependant, il reste bien en dessous des niveaux antérieurs à l'effondrement.

### Historique de gestion, débarquements et TAC

La pêche commerciale côtière du capelan se déroule de juin à août chaque année. L'effort de pêche et les débarquements de capelans peuvent être affectés négativement par des facteurs liés au marché. En 2025, le total autorisé des captures (TAC) pour le capelan était de 14 533 t, et les débarquements dans les divisions 3KL étaient de 12 935 t (tableau 1). Il n'y a pas eu de pêche dans la sous-division 3Ps depuis 2011, ni dans la division 2J depuis au moins 25 ans. L'avis scientifique préparé pour les divisions 2J3KL est appliqué au stock de la sous-division 3Ps et, généralement, le quota alloué à la sous-division 3Ps est transféré aux divisions 3KL.

Tableau 1. Débarquements de la pêche commerciale côtière du capelan (en tonnes) et TAC combinés dans deux zones de gestion du capelan (divisions 2J3KL et 3Ps de l'OPANO) depuis 1980.

Année de gestion	1980 à 1990 Moyenne	1991 à 2000 Moyenne	2001 à 2010 Moyenne	2011 à 2020 Moyenne	2021	2022	2023	2024	2025
TAC (t)	66 750	46 334	29 734	25 107	14 533	14 533	14 533	14 533	14 533
Débarquements (t)	46 075	19 984	22 788	21 813	13 945	0	11 392	14 109	12 935

### Considérations liées à l'écosystème et aux changements climatiques

Le climat océanique dans la biorégion de Terre-Neuve-et-Labrador fluctue avec des phases froides et chaudes pluriannuelles et décennales. Il joue un rôle important dans le contrôle de la productivité à l'échelle de l'écosystème. La phase chaude qui a débuté vers 2020 s'est poursuivie en 2025, et elle est associée à des conditions généralement favorables pour le capelan. Toutefois, les effets à long terme du réchauffement continu sur le capelan et l'évolution du climat océanique liée aux changements climatiques demeurent inconnus.

Les efflorescences phytoplanctoniques récentes ont été précoces, ce qui favorise le recrutement du copépode *Calanus finmarchicus*, un aliment clé pour de nombreux poissons, y compris le capelan. La biomasse totale du zooplancton, y compris les taxons des proies relatives au capelan, s'améliore depuis les creux enregistrés au début et au milieu des années 2010. Ces changements laissent supposer de meilleures conditions d'alimentation pour le capelan et se reflètent sur l'état corporel du capelan en automne, qui est supérieur à la moyenne depuis 2017.

Les écosystèmes marins de Terre-Neuve-et-Labrador se sont effondrés à la fin des années 1980 et au début des années 1990 en raison des températures océaniques extrêmement froides et de la surpêche. Les déclinés de la biomasse du poisson de fond et du capelan n'ont pas été compensés par des augmentations du nombre de mollusques et crustacés, la biomasse de l'écosystème demeurant inférieure aux niveaux d'avant l'effondrement. Un certain rétablissement de la biomasse de l'écosystème, également lié à des augmentations de la biomasse du capelan, a été observé entre le milieu des années 2000 et le début des années 2010, période après laquelle des déclinés se sont produits. Bien que ces écosystèmes continuent de connaître une faible productivité globale par rapport à la période précédant l'effondrement, probablement liée à des processus ascendants (p. ex. limitation des ressources alimentaires), des améliorations ont été observées au cours des dernières années. La biomasse de l'écosystème a augmenté par rapport aux creux du milieu et de la fin des années 2010 et a atteint des niveaux proches des sommets après l'effondrement en 2025. Bien que ces augmentations soient dues au poisson de fond, le capelan s'est également amélioré.

Les régimes alimentaires saisonniers du capelan indiquent une concurrence intraspécifique accrue pour la nourriture au large des côtes. Bien que l'activité alimentaire soit élevée, la proportion de poissons qui se nourrissent de proies de moindre qualité ou de peu de proies est également élevée. Les effets potentiels sur la dynamique des stocks sont une croissance plus lente des juvéniles et une maturation retardée, ce qui correspond à la dynamique de la population pendant la période précédant l'effondrement.

Les prévisions de la biomasse du capelan tirées de l'examen des estomacs de morues du nord et de flétans du Groenland, et les estimations de la consommation de capelans par les poissons prédateurs, indiquent une amélioration des niveaux de la biomasse par rapport à la fin des années 2010.

Malgré une grande incertitude, les analyses des composantes de l'environnement, du régime alimentaire des poissons prédateurs et du réseau trophique indiquent des perspectives généralement positives pour le capelan en 2026.

### Avis sur le stock

La série de modélisation des prévisions pour le capelan est utilisée pour prédire l'indice de la biomasse tiré du relevé acoustique de 2026. Dix modèles ont été examinés en fonction de ceux élaborés dans Lewis *et al.* (2019) et trois formules ont été introduites dans l'évaluation de 2025 (MPO 2025). Le modèle sélectionné à partir de cette série dans l'évaluation actuelle comprend la période du retrait de la glace de mer, un indice de l'abondance des larves de capelan, un indice du zooplancton et l'état du capelan provenant du relevé d'automne par navire de recherche.

Comme le moment du retrait de la glace de mer pour l'année en cours n'est pas connu au moment de l'évaluation, des scénarios de prévision ont été exécutés avec un calendrier hebdomadaire couvrant la période du 4 mars au 1<sup>er</sup> avril 2026 (tableau 2). L'état du capelan et les densités de zooplancton en automne étaient supérieurs à la moyenne, et l'indice de l'abondance des larves était inférieur à la moyenne.

Il n'est pas possible de savoir si la proportion de capelans d'âge 3+ dans l'indice de la biomasse tiré du relevé acoustique de 2026 sera semblable à celle de 2025, ce qui a une incidence importante sur les projections du modèle de prévision. Le modèle de prévision a été conçu pour projeter la biomasse en supposant que la biomasse des individus d'âge 3+ n'est pas la fraction dominante dans l'indice de la biomasse tiré du relevé acoustique. Les années avec des proportions élevées de poissons d'âge 3+ ont tendance à être sous-estimées par le modèle de prévision (c.-à-d. 2013 et 2025; figures 2 et 3). Par conséquent, la projection en 2026 est considérée comme un indicateur de l'indice de la biomasse minimale selon le relevé acoustique. La limite supérieure de la projection est très incertaine. Les stocks devraient rester au-dessus du PRL en 2026 (figure 2), même si la proportion de poissons d'âge 3+ est plus typique de la période après l'effondrement (figure 3).

Compte tenu des conditions environnementales positives, des analyses des composantes du réseau trophique et des tendances biologiques du capelan, comme la période de fraie plus précoce et la structure selon l'âge favorable, les perspectives du stock sont positives pour 2026.

Tableau 2. Indices de la biomasse médiane et intervalles de prévision pour différentes dates de retrait maximal de la glace de mer en 2026, tirés du modèle de prévision.

Date	Biomasse médiane (kt)	Intervalle de prévision (kt)	
		10 <sup>e</sup> centile	90 <sup>e</sup> centile
2026-03-04	332	147	725
2026-03-11	367	161	812
2026-03-18	352	157	803

Date	Biomasse médiane (kt)	Intervalle de prévision (kt)	
		10 <sup>e</sup> centile	90 <sup>e</sup> centile
2026-03-25	300	134	664
2026-04-01	241	105	572
Médiane	332	147	725

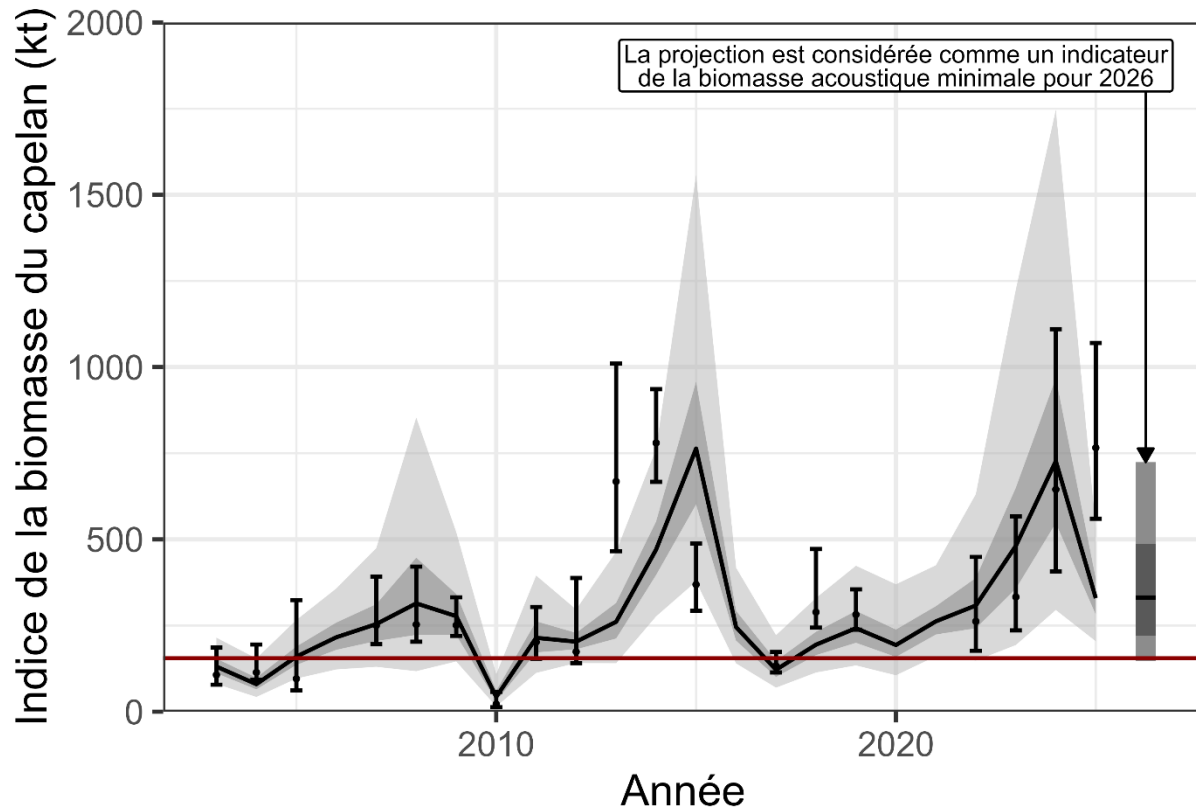


Figure 2. Intervalles de crédibilité du modèle de prévision (2,5<sup>e</sup> au 97,5<sup>e</sup> centile) de 2003 à 2025, et intervalles de prévision (du 10<sup>e</sup> au 90<sup>e</sup> centile) de 2026 en utilisant le 4 mars comme date du retrait de la glace de mer pour la prévision de 2026. Les lignes continues indiquent la médiane des intervalles de crédibilité ou de prévision. Les valeurs observées de l'indice de la biomasse (cercles noirs) avec des intervalles de confiance à 90 % (lignes noires avec moustaches) et le PRL (ligne horizontale rouge) sont également indiquées.

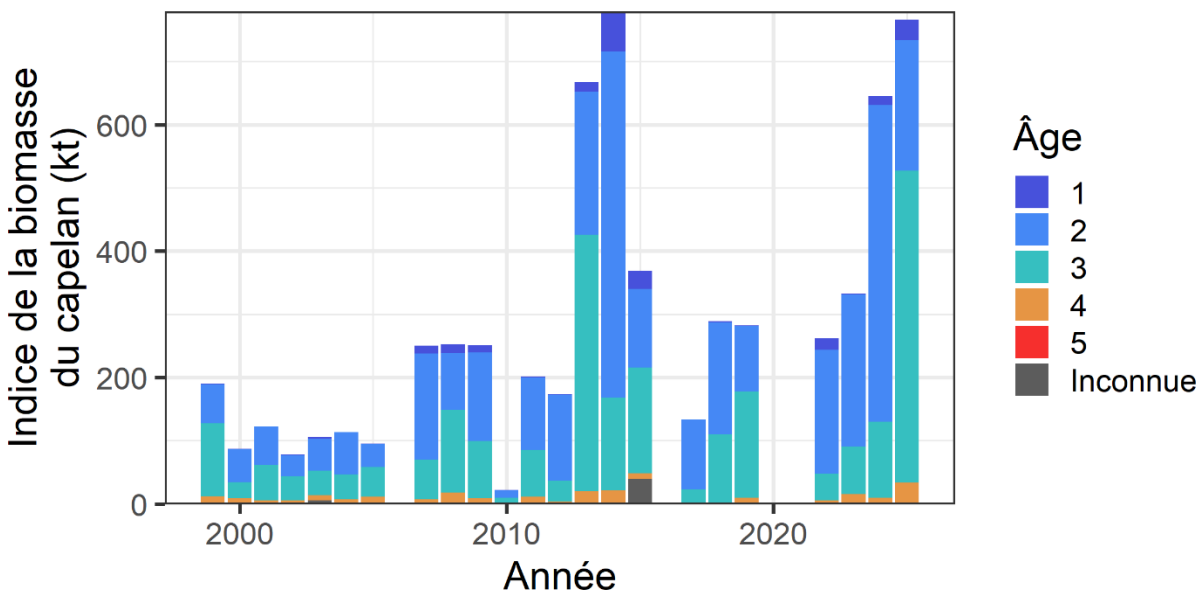


Figure 3. Indice de la biomasse du capelan selon le relevé acoustique de printemps, ventilé selon l'âge, de 1985 à 2025.

## SOURCES D'INCERTITUDE

Bien que le relevé acoustique ne couvre qu'une partie de la zone des stocks (division 3L et sud de la division 3K), l'indice tiré de ce relevé est considéré comme représentatif des tendances et de l'état globaux des stocks.

Bien que le modèle de prévision ait un ajustement acceptable, il sous-estime l'indice de la biomasse tiré du relevé acoustique lorsqu'il est dominé par les poissons d'âge 3+ (c.-à-d. 2013 et 2025). Par conséquent, le modèle de prévision peut fournir un minimum pour l'indice de la biomasse du capelan selon le relevé acoustique, mais il sous-estime l'ampleur de l'indice lorsque la proportion de poissons d'âge 3+ est élevée.

Les poissons sont les principaux consommateurs de capelans, même si les estimations sont variables et qu'elles dépendent fortement de l'importance de ces espèces dans la prédation globale. La consommation de capelans par les mammifères marins et les oiseaux de mer demeure une source importante d'incertitude.

L'indice maximal de F laisse supposer que le taux d'exploitation est faible, mais les effets de la pêche sur les stocks de capelan sont généralement mal compris parce que cette pêche cible les poissons avant la fraie.

## LISTE DES PARTICIPANTS DE LA RÉUNION

NOM	ORGANISME D'APPARTENANCE
Travis Van Leeuwen	Région de Terre-Neuve-et-Labrador du MPO – Sciences
Hilary Rockwood	Région de Terre-Neuve-et-Labrador du MPO – Centre des avis scientifiques
Rachelle Dove	Région de Terre-Neuve-et-Labrador du MPO – Centre des avis scientifiques

<b>NOM</b>	<b>ORGANISME D'APPARTENANCE</b>
Erin Dunne	Région de Terre-Neuve-et-Labrador du MPO – Gestion des ressources
Aaron Adamack	Région de Terre-Neuve-et-Labrador du MPO – Sciences
Brandon Tilley	Région de Terre-Neuve-et-Labrador du MPO – Sciences
Charmaine Hamilton	Région de Terre-Neuve-et-Labrador du MPO – Sciences
Chelsea Malayny	Région de Terre-Neuve-et-Labrador du MPO – Sciences
Christina Bourne	Région de Terre-Neuve-et-Labrador du MPO – Sciences
David Belanger	Région de Terre-Neuve-et-Labrador du MPO – Sciences
Divya Varkey	Région de Terre-Neuve-et-Labrador du MPO – Sciences
Hannah Munro	Région de Terre-Neuve-et-Labrador du MPO – Sciences
Hannah Murphy	Région de Terre-Neuve-et-Labrador du MPO – Sciences
Heather Andres	Région de Terre-Neuve-et-Labrador du MPO – Sciences
Jared Penney	Région de Terre-Neuve-et-Labrador du MPO – Sciences
Keith Lewis	Région de Terre-Neuve-et-Labrador du MPO – Sciences
Mariano Koen-Alonso	Région de Terre-Neuve-et-Labrador du MPO – Sciences
Nancy Soontiens	Région de Terre-Neuve-et-Labrador du MPO – Sciences
Paul Regular	Région de Terre-Neuve-et-Labrador du MPO – Sciences
Rajeev Kumar	Région de Terre-Neuve-et-Labrador du MPO – Sciences
Ron Lewis	Région de Terre-Neuve-et-Labrador du MPO – Sciences
Sana Zabihi-Seissan	Région de Terre-Neuve-et-Labrador du MPO – Sciences
Karen Cogliati	Région de la capitale nationale du MPO – Sciences
Ryan Chlebak	Région de la capitale nationale du MPO – Sciences
Angela Burridge	Ministère provincial des Pêches et de l'Aquaculture
Jane Tucker	Fish, Food & Allied Workers Union
Cody Batten	Fish, Food & Allied Workers Union
Ivan Batten	Fish, Food & Allied Workers Union
Tanya Prystay	Torngat Wildlife Plants & Fisheries Secretariat
Ashley Tripp	Université du Manitoba
Gail Davoren	Université du Manitoba
Warsha Singh	Marine Institute (MAFRI), Iceland
Jiaying Chen	Fisheries and Marine Institute de l'Université Memorial de Terre-Neuve
Matthew Robertson	Fisheries and Marine Institute de l'Université Memorial de Terre-Neuve
Zeyu Zeng	Fisheries and Marine Institute de l'Université Memorial de Terre-Neuve
Kathryn Cole	Université Memorial de Terre-Neuve
Kathryn Hargan	Université Memorial de Terre-Neuve
Thomas Drover	Université Memorial de Terre-Neuve
Jack Daly	Oceana Canada
Gemma Rayner	Oceans North

NOM	ORGANISME D'APPARTENANCE
Chelsea Boaler	Fonds mondial pour la nature Canada

## SOURCES DE RENSEIGNEMENTS

- Lewis, K.P., Buren, A.D., Regular, P.M., Mowbray, F.K., et Murphy, H.M. 2019. [Forecasting capelin \*Mallotus villosus\* biomass on the Newfoundland shelf](#). MEPS. 616: 171–183.
- Lewis, R.S., Murphy, H.M., Adamack, A.T., Munro, H., Koen-Alonso, M. et Bourne, C.M. 2025. [Évaluation du capelan \(\*Mallotus villosus\*\) des divisions 2J, 3K et 3L de l'OPANO jusqu'en 2024](#). Secr. can. des avis sci. du MPO. Doc. de rech. 2025/061. iv + 42 p.
- MPO. 2021. [Évaluation du capelan des divisions 2J3KL en 2019](#). Secr. can. de consult. sci. du MPO. Avis sci. 2021/045. (Erratum : novembre 2021)
- MPO. 2023. [Mise à jour sur l'état des stocks de capelan dans les divisions 2J3KL de l'OPANO pour 2022](#). Secr. can. des avis sci. du MPO. Rép. des Sci. 2023/010.
- MPO. 2024. [Évaluation du capelan dans les divisions 2J, 3K et 3L jusqu'en 2023](#). Secr. can. des avis sci. du MPO. Avis sci. 2024/050.
- MPO. 2025. [Évaluation du capelan dans les divisions 2J, 3K et 3L jusqu'en 2024](#). Secr. can. des avis sci. du MPO. Avis sci. 2025/034.
- Murphy, H.M., Adamack, A.T., et Cyr, F. 2021. [Identifying possible drivers of the abrupt and persistent delay in capelin spawning timing following the 1991 stock collapse in Newfoundland, Canada](#). ICES J. Mar. Sci. 78(8): 2709–2723.
- Nakashima, B.S. 1992. [Patterns in Coastal Migration and Stock Structure of Capelin \(\*Mallotus villosus\*\)](#). Can. J. Fish. Aqua. Sci. 49(11): 2423–2429.

**CE RAPPORT EST DISPONIBLE AUPRÈS DU :**

Centre des avis scientifiques (CAS)  
Région de Terre-Neuve-et-Labrador  
Pêches et Océans Canada  
C.P. 5667

St. John's (Terre-Neuve-et-Labrador) A1C 5X1

Courriel : [DFO.NLCSA-TNLCAS.MPO@DFO-MPO.GC.CA](mailto:DFO.NLCSA-TNLCAS.MPO@DFO-MPO.GC.CA)

Adresse Internet : [www.dfo-mpo.gc.ca/csas-sccs/](http://www.dfo-mpo.gc.ca/csas-sccs/)

ISSN 1919-5117

ISBN 978-0-660-99738-4 N° cat. Fs70-6/2026-025F-PDF

© Sa Majesté le Roi du chef du Canada, représenté par le ministre du  
ministère des Pêches et des Océans, 2026

Ce rapport est publié sous la [Licence du gouvernement ouvert – Canada](#).



La présente publication doit être citée comme suit :

MPO. 2026. Évaluation des stocks de capelan dans les divisions 2J et 3KL jusqu'en 2025. Secr.  
can. des avis sci. du MPO. Avis sci. 2026/025.

*Also available in English:*

*DFO. 2026. Stock Assessment of Divisions 2J+3KL Capelin to 2025. DFO Can. Sci. Advis. Sec.  
Sci. Advis. Rep. 2026/025.*